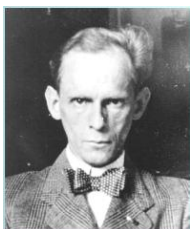

Zastosowanie techniki μ SR w badaniach własności magnetyków molekularnych.

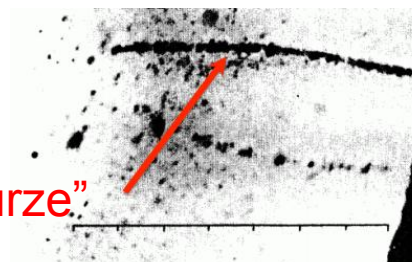
Piotr M. Zieliński
NZ35
IFJ PAN

1. Fundamenty spektroskopii mionów
 2. Typowy eksperyment
 3. Zjawiska krytyczne i μ SR
 4. Przykłady otrzymanych wyników
 5. Podsumowanie
-

1933



Paul Kunze
Z. Phys., 83 (1933) 1



„cząstka o nieznannej naturze”

1936



1937

PHYSICAL REVIEW

VOLUME 51

Note on the Nature of Cosmic-Ray Particles

SETH H. NEDDERMEYER AND CARL D. ANDERSON
California Institute of Technology, Pasadena, California
(Received March 30, 1937)



Seth Neddermeyer

mesotron $m \approx 240 m_e$
meson miu Yukawy ? (100 MeV)

Carl Anderson

1947,
1949

Nature, **160** (1947), 486, *Observations on the tracks of slow mesons in photographic emulsions* $\pi \rightarrow \mu$

Brown et al., Nature, **163** (1949), 47, *Observations with electron-sensitive plates exposed to cosmic radiation*

$\pi \rightarrow \mu \rightarrow e$

Cèsar Lattes, Giuseppe Occhialini, Cecil F. Powell

1956

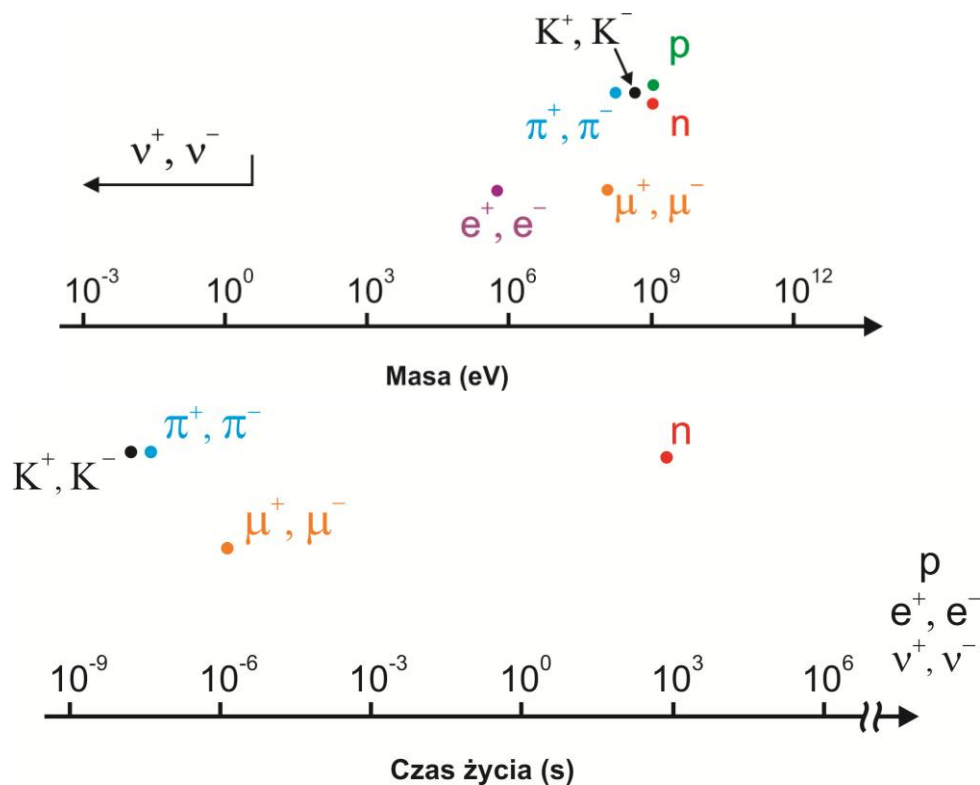
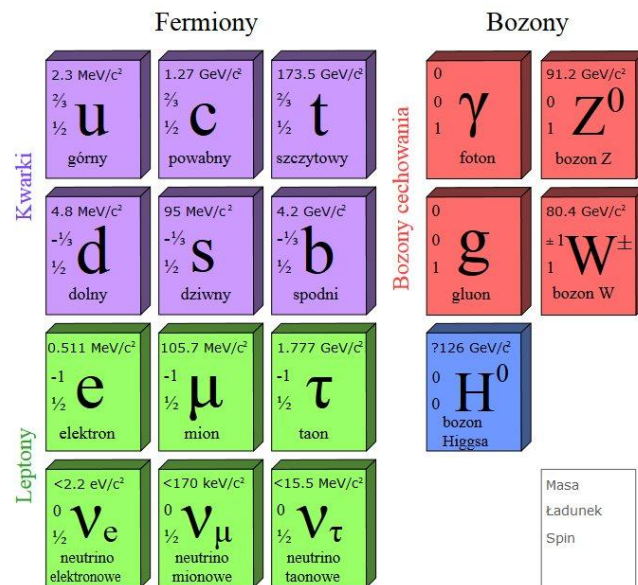


Physical Review, **104** (1956), 254, *Question of parity conservation in weak interactions*

Physical Review, **105**(1957), 1671, *Parity nonconservation and a two-component theory of the neutrino*

Tsung-Dao Lee, Chen-Ning Yang

Wielkość	Symbol	μ
Masa spoczynkowa	$m_\mu c^2$	105.6583715(35) MeV
	m_μ	$1.883531475 \times 10^{-28}$ kg
Masa	m_μ	$0.1126095272(28) m_p$
	m_μ	$206.7682843(52) m_e$
Ładunek	Q	$\pm 1.60219 \times 10^{-19}$
Spin	S_μ	$1/2 (\hbar)$
Moment magnetyczny	μ_μ	$4.84197044(12) \times 10^{-3} \mu_B$
Stosunek żyromagnetyczny	γ_μ	$135,5 \times 2\pi$ MHz/T
Średni czas życia swobodnego mionu	τ_μ	$2.1969811(22) \times 10^{-6}$ s

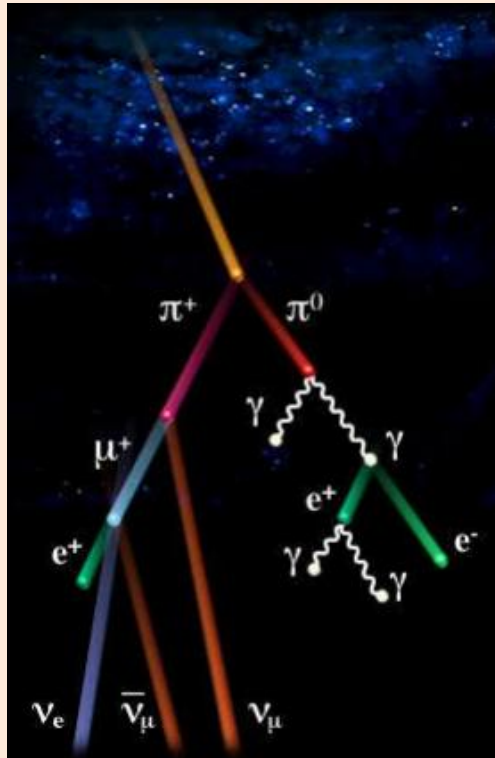


Promieniowanie kosmiczne

- **Pierwotne P.K.**
P (~90%), He (~9%), e.
10¹¹ GeV

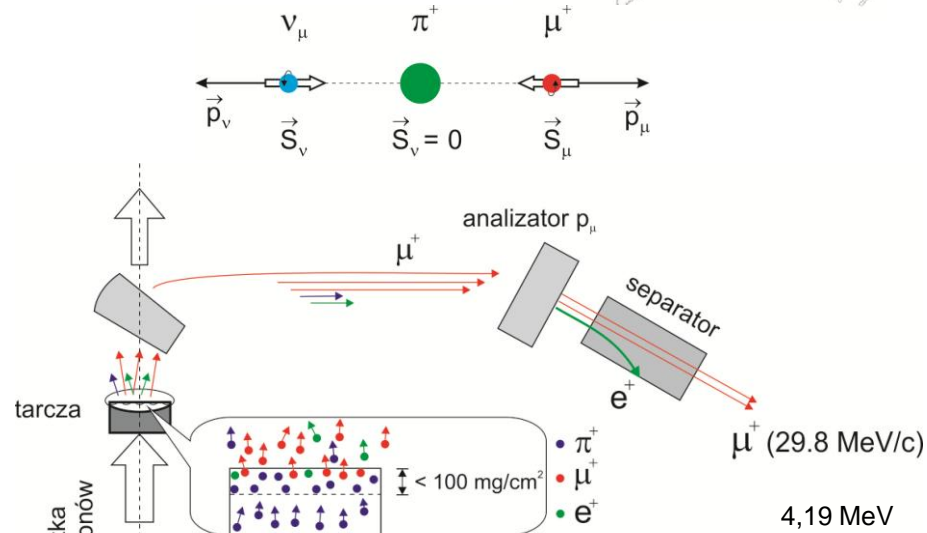
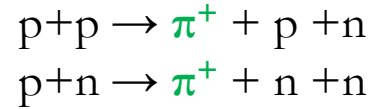
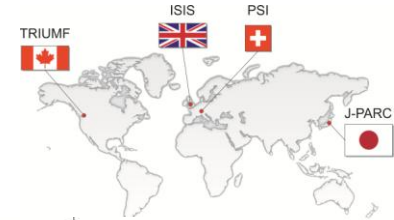
- **Wtórne P.K.**
 π , κ , Λ , ...

- przy powierzchni
 μ (~70%) e^- (30%)
4 GeV, 1 μ /cm²/min



Akseleratory protonów

100 μ A, 500 MeV

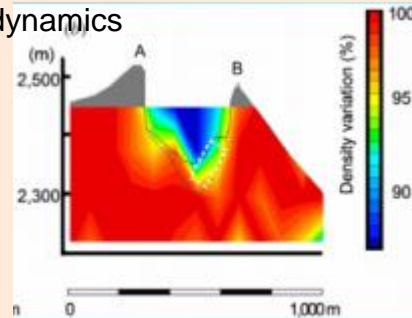


Search for hidden chambers in the pyramids

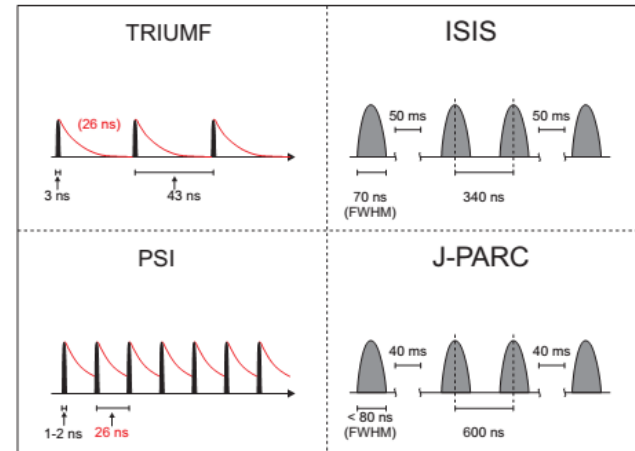


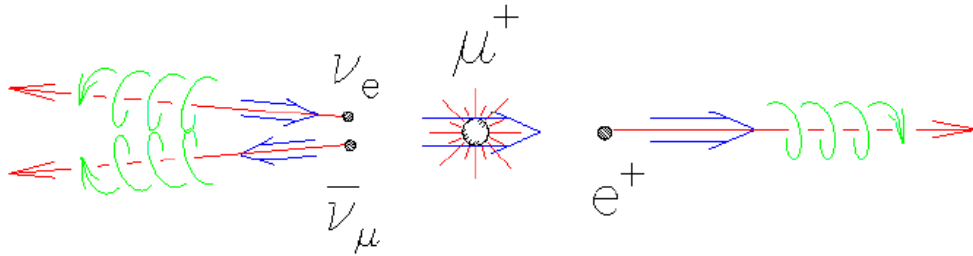
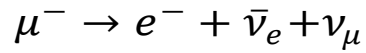
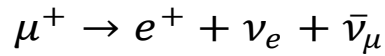
Alvarez, Science, **167** (1970) 832.

[...] Inner structure, [...] volcanic eruption prediction, [...] magma dynamics

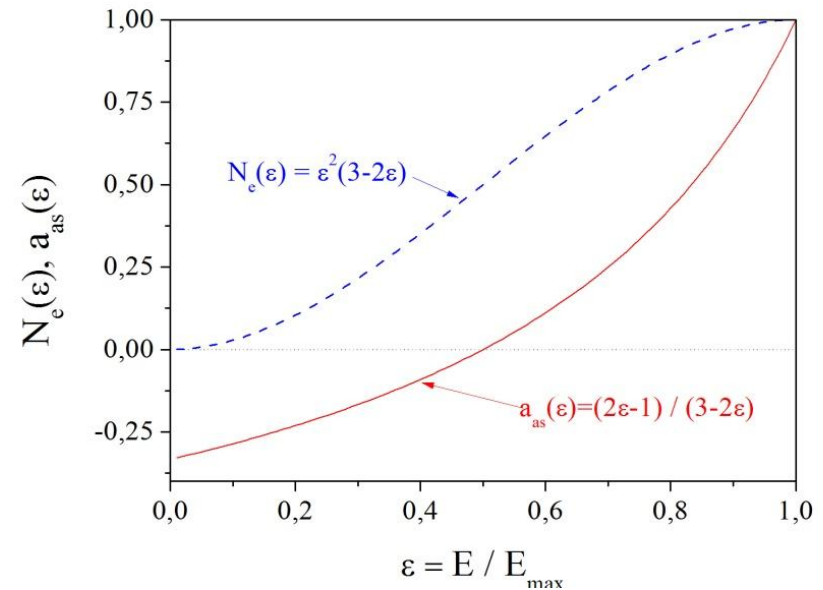
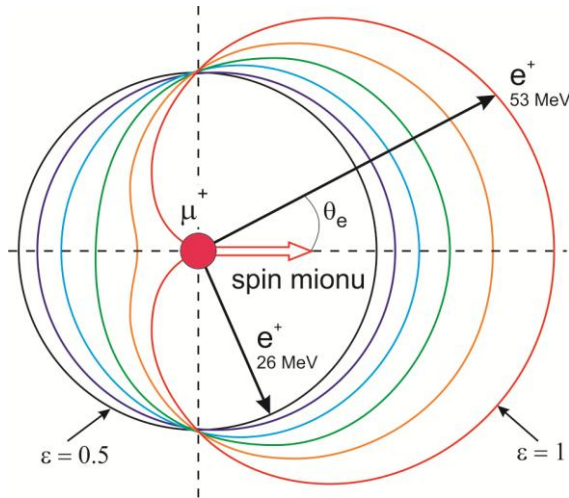


Tanaka, Nature Comm., **5** (2014), 3381
Nagamine, (1995),
DOI: 10.1016/0168-9002(94)01169-9





$$W(\theta) \propto [1 \pm a_{as}(\varepsilon) \cos \theta]$$



$$N_e(E_e) \propto [1 \pm a_{as}(E_e) \cos \theta]$$

$$a_{as}(E_e) = (E_e^{max} - 2E_e)/(3E_e^{max} - 2E_e)$$

$$E_e^{max} = \frac{m_\mu c^2}{2} = 52,83 \text{ MeV}$$

„It seems possible that polarized positive and negative muons will become a powerful tool for exploring magnetic fields in nuclei [...], atoms, and interatomic regions.” (Garwin et al., Phys. Rev. 1957)

μ SR – muon Spin Rotation, Relaxation, ...

Możliwości

Struktura, dynamika materii skondensowanej

10 mK do 1000 K
 $\sim 1,5$ Gpa
 8 T
 1 h

Ograniczenia

Rozmiar / Masa próbki

6,5 mm², 0.07 mm

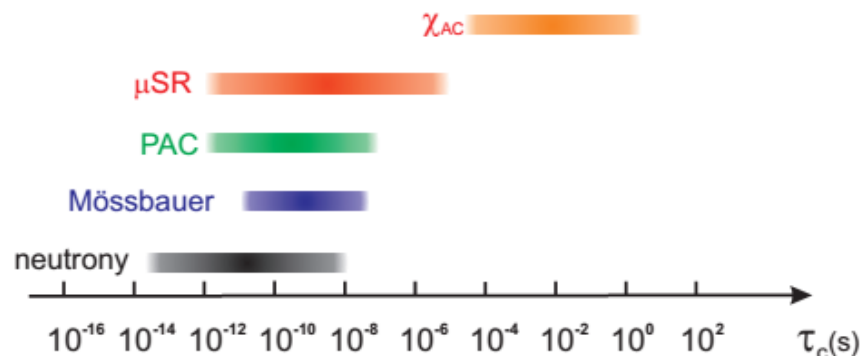
Najczęściej:

180 mg /cm² wiązki

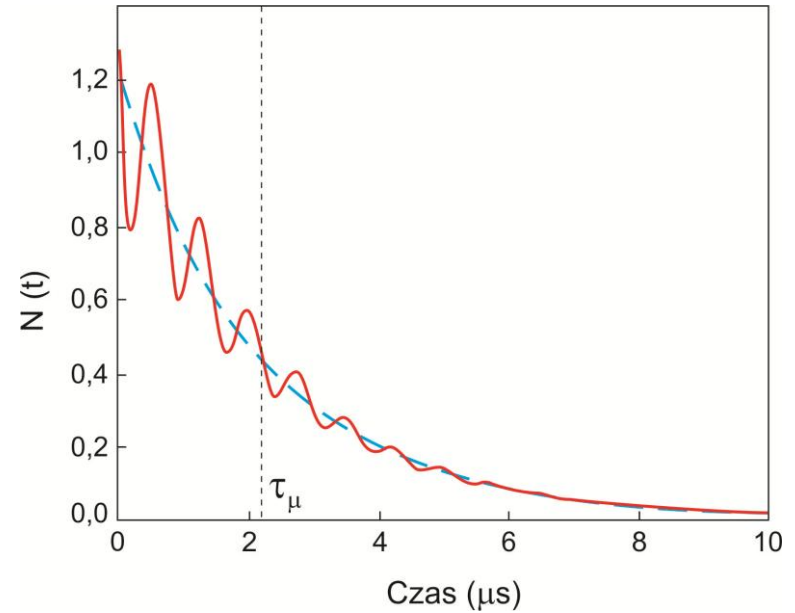
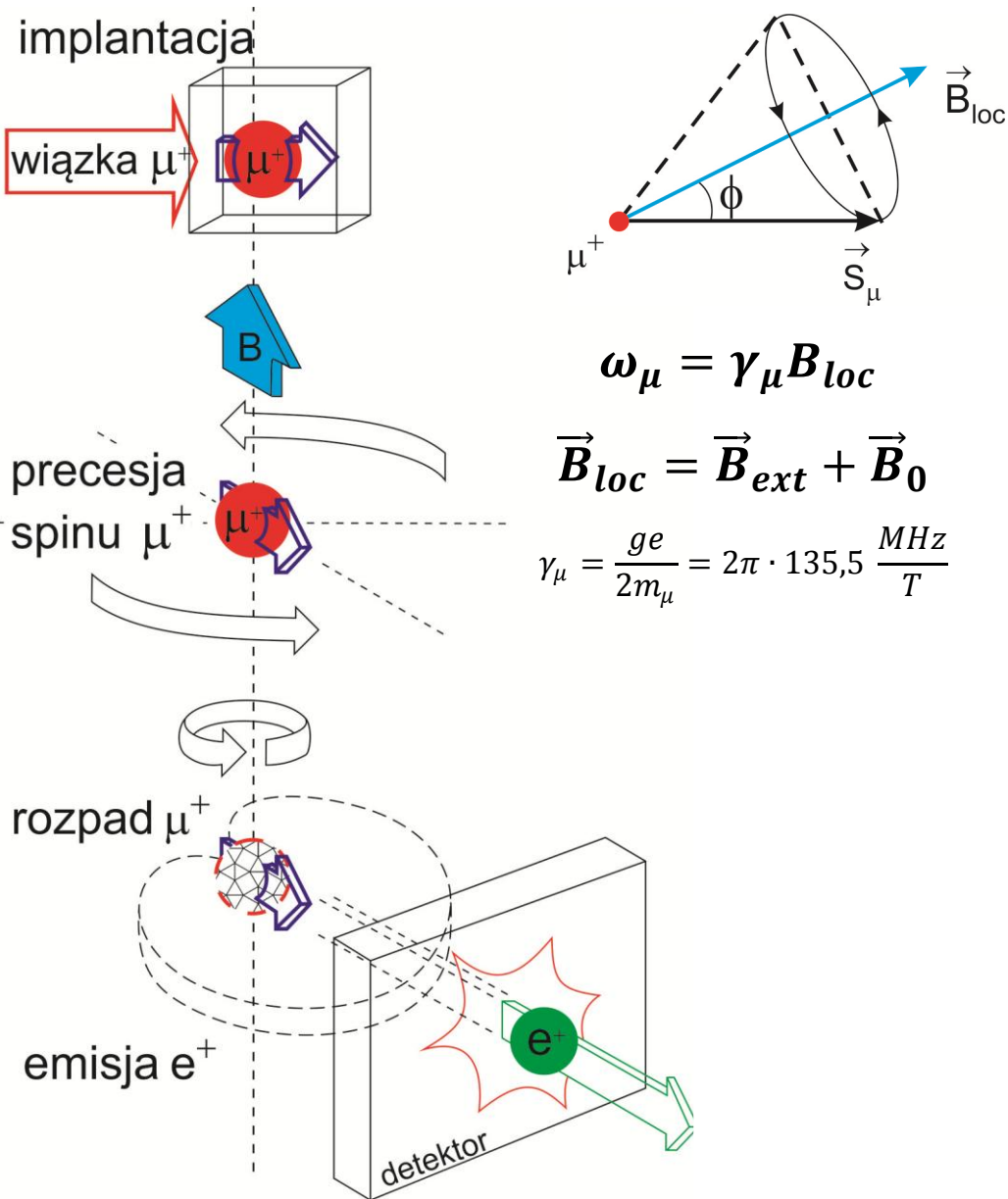
Grubość:

> 1mm (mat. organiczne $\rho \sim 1$ g/cm³)

100 – 300 μ m (metale przejściowe)



... Resonance (ALC, RF- μ SR, techniki stroboskopowe).



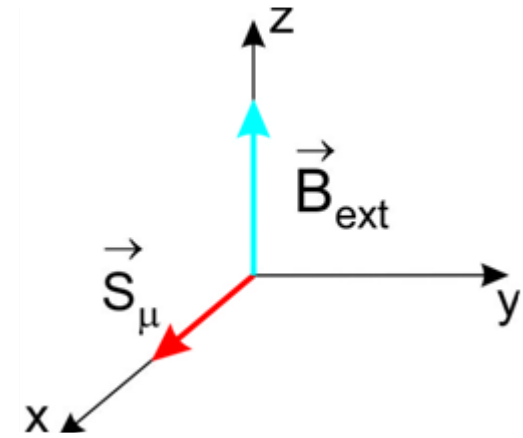
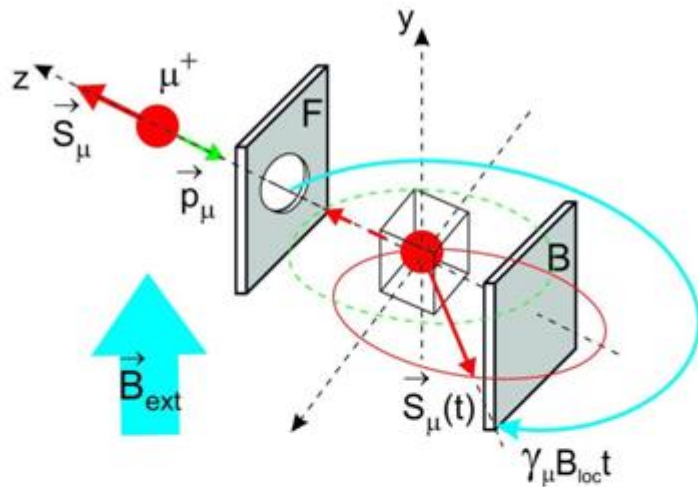
$$N_{F,B}(t) = N_0 \exp(-t/\tau_\mu) [1 \pm a_0 P_\alpha(t)]$$

$$\alpha = x, y, z$$

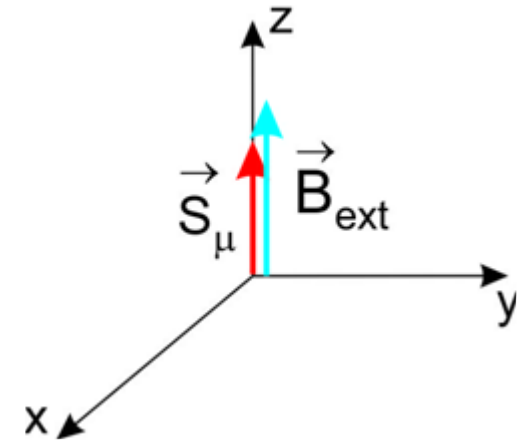
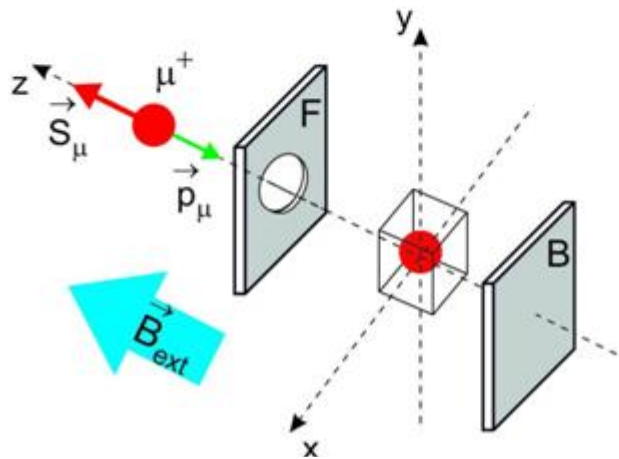
$$A(t) = a_0 P_\alpha(t) = \frac{N_F(t) - N_B(t)}{N_F(t) + N_B(t)}$$

$$a_0 \sim 0.25$$

TF rotacja spinu mionów



LF (ZF) relaksacja spinu mionów



$$\vec{B}_{loc} = \vec{B}_{ext} + \vec{B}_0$$

$$\vec{B}_0 = \vec{B}_{dip} + \vec{B}_{Lor} + \vec{B}_{dem} + \vec{B}_{hyp}$$

$$P_\alpha(t) = \int f(\vec{B}_{loc}) [\sin^2 \theta + \cos^2 \theta \cos(\gamma_\mu B_{loc} t)] d\vec{B}_{loc}$$

$$P_{\vec{i}_\mu, \vec{i}_p}(t) = \frac{\langle \vec{S}_\mu(t) \rangle}{S_\mu(0)} \cdot \vec{u}_p$$

$$\vec{i}_\mu = \frac{\vec{S}_\mu(0)}{S_\mu(0)}$$

Próbka jednodomenowa, monokrystaliczna

$$f(\vec{B}_{loc}) = \delta(t)$$

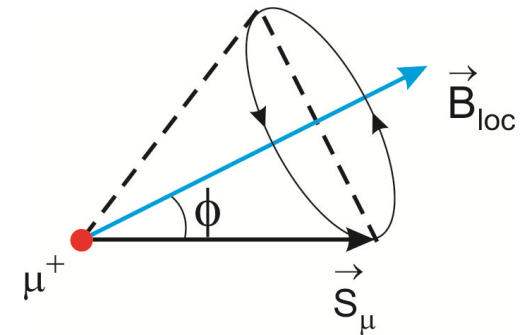
$$P_Z(t) = \cos^2 \theta + \sin^2 \theta \cos(\omega_\mu t)$$

$$\omega_\mu = \gamma_\mu B_{loc} = 2\pi\nu_\mu \left[(B_{loc}^X)^2 + (B_{loc}^Y)^2 + (B_{loc}^Z)^2 \right]^{1/2}$$

Próbka polikrystaliczna, $B_{ext} = 0$,
faza uporządkowana magnetycznie

$$P_Z(t) = \frac{1}{3} + \frac{2}{3} \cos(\omega_\mu t)$$

$$P_Z(t) = A_Z + A_{osc} \cos(\omega_\mu t)$$



$$\mu_\mu = \gamma_\mu \hbar S_\mu$$

$$A_Z(b) = \frac{3}{4} - \frac{1}{4b^2} + \frac{(b^2 - 1)^2}{8b^3} \log \left| \frac{b + 1}{b - 1} \right|$$

$$A_{osc}(b) = 1 - A_Z(b)$$

Teoria zjawisk krytycznych

$$f(\tau) \propto \tau^k \quad \tau \rightarrow 0$$

$$k = \lim_{\tau \rightarrow 0} \frac{\log f(\tau)}{\log \tau}$$

$$\tau = \frac{|T - T_{kr}|}{T_{kr}}$$

Model magnetyka molekularnego

$$\mathcal{H} = -2 \sum_{i < j} (J_{ij,x} S_{i,x} S_{j,x} + J_{ij,y} S_{i,y} S_{j,y} + J_{ij,z} S_{i,z} S_{j,z})$$

$$S_{i,k} \quad (k = x, y, z)$$

Liczba niezerowych składowych spinu określa wymiar n parametru porządku

- model Heisenberga, $n = 3$.

$$J_{ij,x} = J_{ij,y} = J_{ij,z} \text{ (izotropowy model Heisenberga).}$$

$$J_{ij,x} \neq J_{ij,y} \neq J_{ij,z} \text{ (anizotropowy model Heisenberga).}$$

- model XY, $n = 2$.

$$J_{ij,x} = J_{ij,y} \text{ i } J_{ij,z} = 0 \text{ (izotropowy model XY).}$$

$$J_{ij,x} \neq J_{ij,y} \text{ i } J_{ij,z} = 0 \text{ (anizotropowy model XY).}$$

- model Isinga, $n=1$.

$$J_{ij,x} = J_{ij,y} = 0 \text{ i } J_{ij,z} \neq 0.$$

Z pomiarów μ SR bezpośrednio:

ZF

$$B(T) = B(0) \left[1 - \left(\frac{T}{T_{kr}} \right)^\sigma \right]^\beta$$

$$\lim_{\tau \rightarrow 0} M \propto \tau^\beta$$

TF

$$\frac{f - f_0}{f_0} \sim x(T) \sim \left(\frac{T}{T_C} - 1 \right)^{-\gamma}$$

$$\lim_{\tau \rightarrow 0} \chi_0 \propto \tau^{-\gamma}$$

LF

$$\tau \sim \left(\frac{T}{T_C} - 1 \right)^{-w}$$

$$\lambda_Z \propto \tau^w$$

Pozostałe wykładniki krytyczne

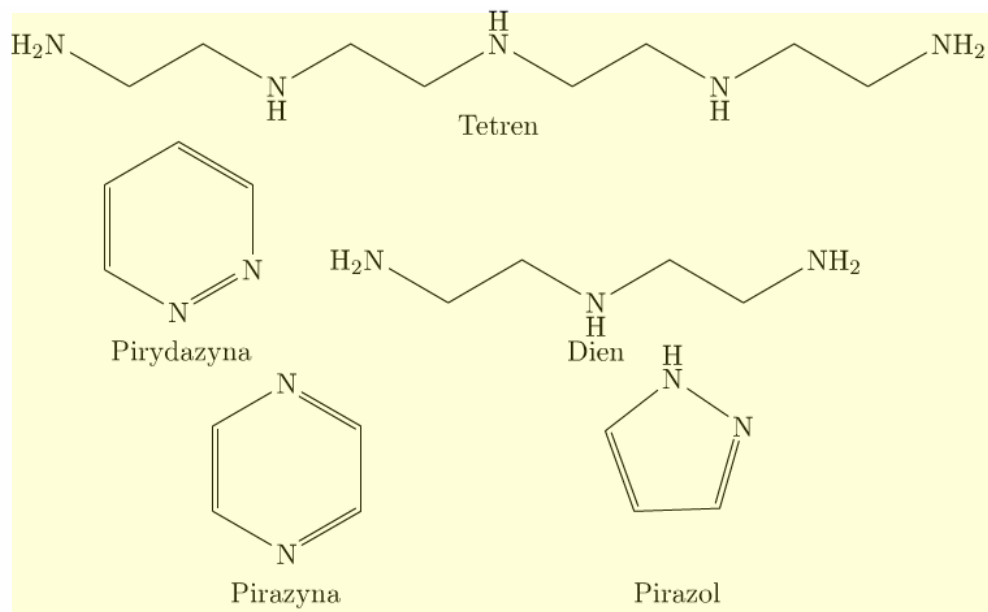
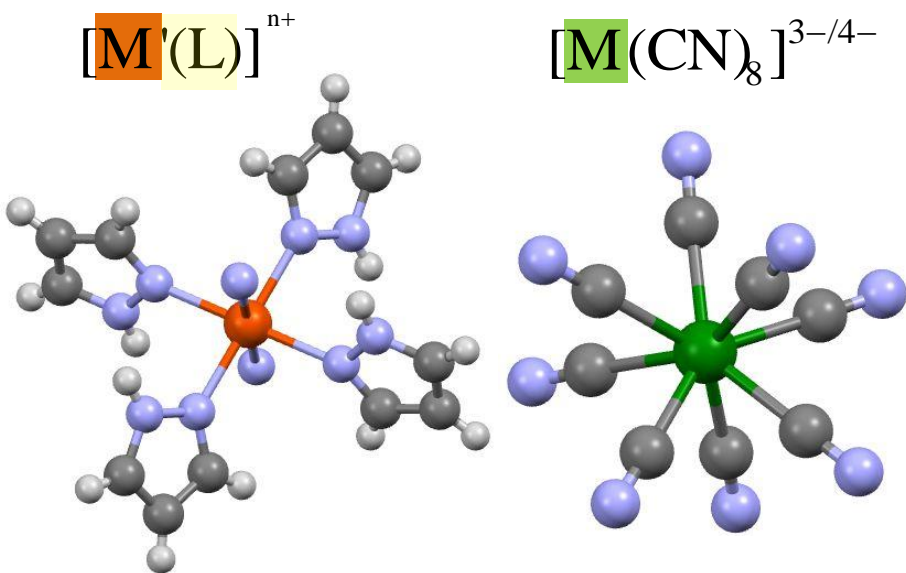
z relacji skalowania, np. :

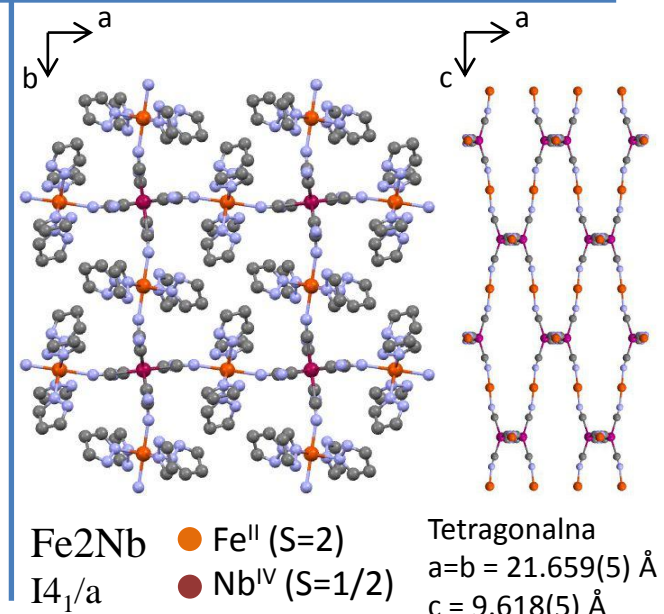
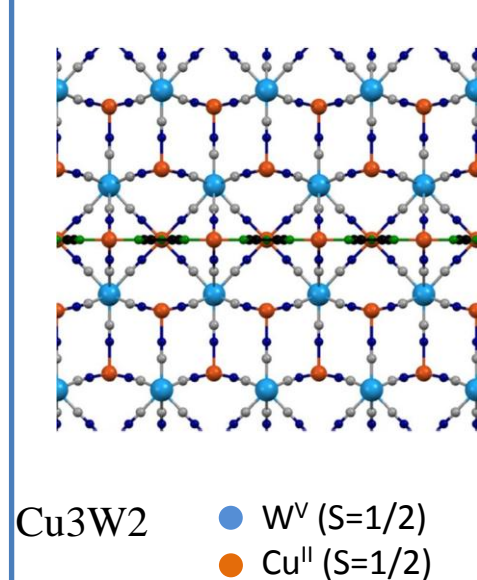
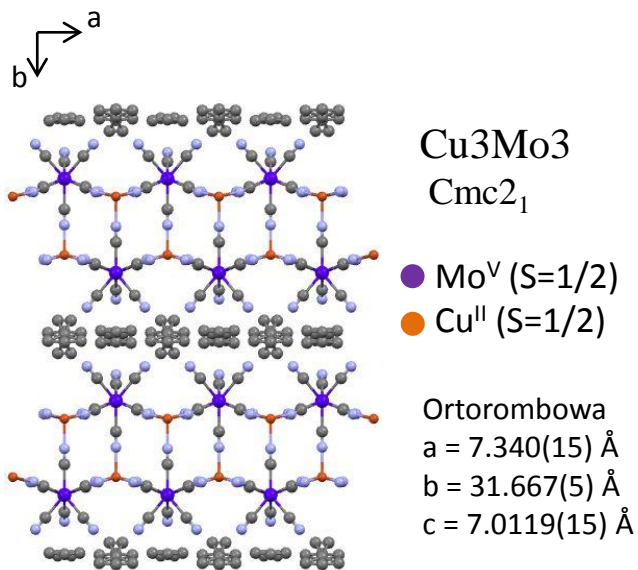
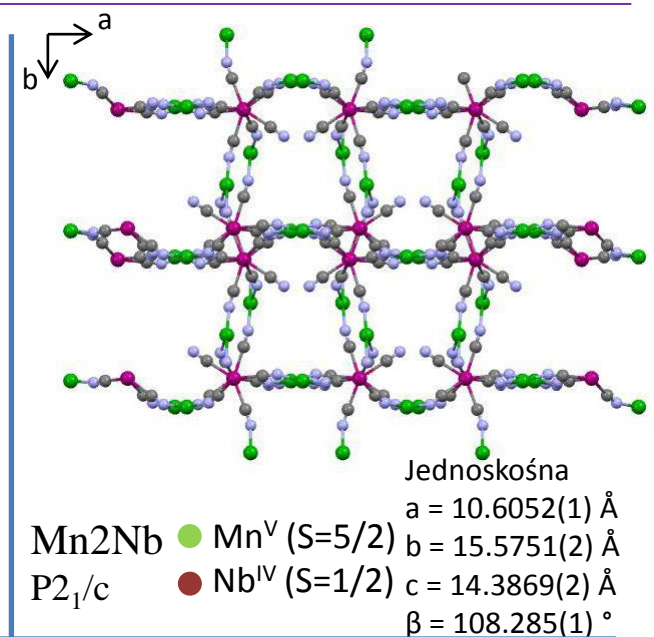
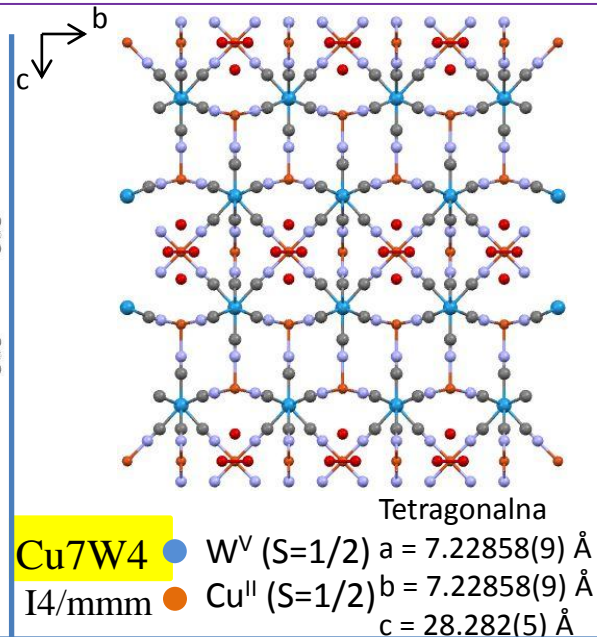
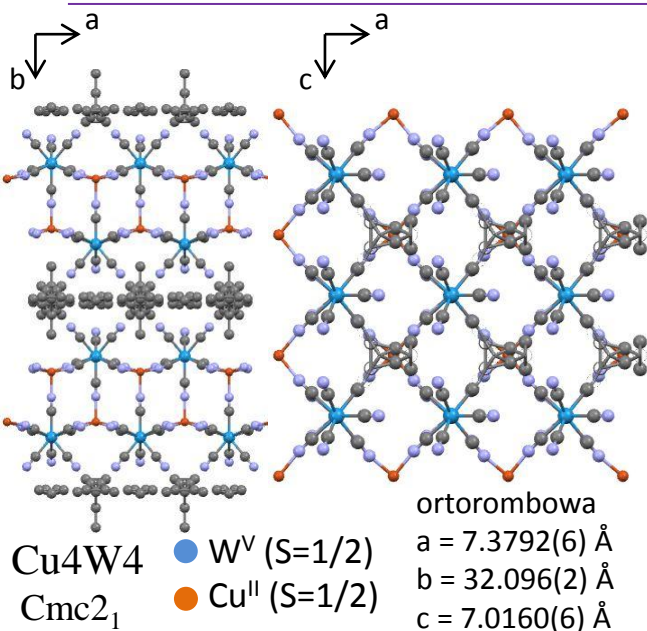
$$\alpha = 2 - 2\beta - \gamma$$

$$\nu = \frac{2 - \alpha}{d}$$

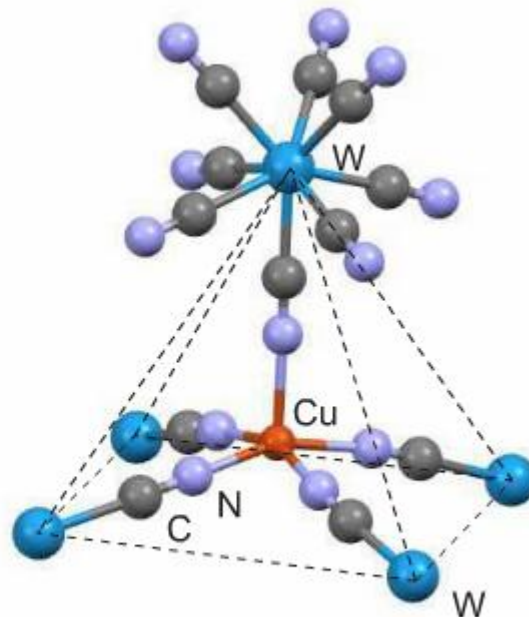
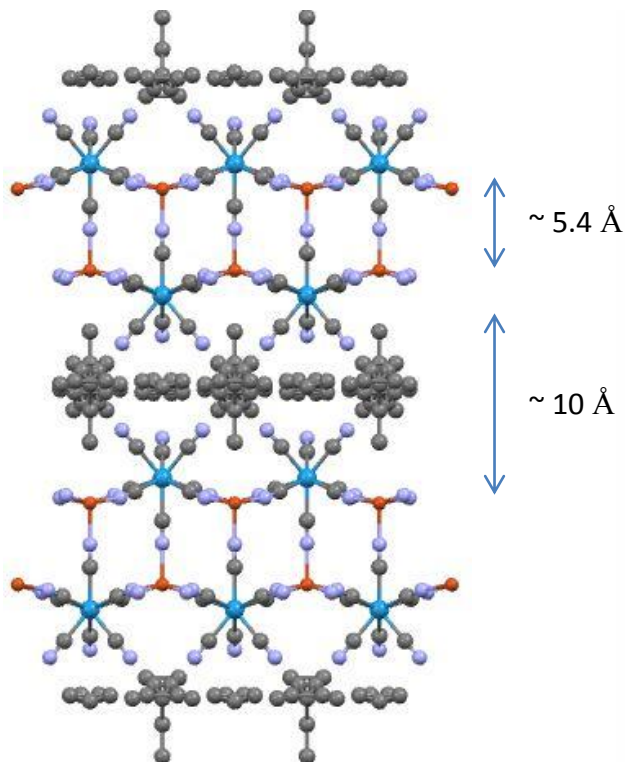
Badane związki

1. $\{(\text{tetrenH}_5)_{0.8}\text{Cu}_4^{\text{II}}[\text{W}^{\text{V}}(\text{CN})_8]_4 \cdot 7\text{H}_2\text{O}\}_n - (\text{Cu4W4})$
2. $\{\text{Cu}_{2+x}^{\text{II}}\text{Cu}_4^{\text{II}}[\text{W}^{\text{V}}(\text{CN})_8]_{4-2x}[\text{W}^{\text{IV}}(\text{CN})_8]_{2x}\} \cdot 4\text{H}_2\text{O} - \text{Cu7W4}$
3. $\{[\text{Mn}^{\text{II}}(\text{pirydazyna})(\text{H}_2\text{O})_2][\text{Mn}^{\text{II}}(\text{H}_2\text{O})_2][\text{Nb}^{\text{IV}}(\text{CN})_8] \cdot 2\text{H}_2\text{O}\}_n - (\text{Mn2Nb})$
4. $\{(\text{dienH}_3)\text{Cu}_3^{\text{II}}[\text{Mo}^{\text{V}}(\text{CN})_8]_3 \cdot 4\text{H}_2\text{O}\} - (\text{Cu3Mo3})$
5. $\{\text{Cu}_3^{\text{II}}(\text{pirazyna})[\text{W}^{\text{V}}(\text{CN})_8]_2\} - (\text{Cu3W})$
6. $\{[\text{Fe}^{\text{II}}(\text{pirazol})_4]_2[\text{Nb}^{\text{IV}}(\text{CN})_8] \cdot 4\text{H}_2\text{O}\}_n - (\text{Fe2Nb})$





a
b



ortorombowa

$$a = 7.3792(6) \text{ \AA}$$

$$b = 32.096(2) \text{ \AA}$$

$$c = 7.0160(6) \text{ \AA}$$

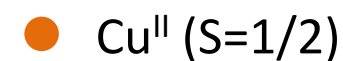
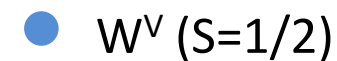
ISIS-RAL

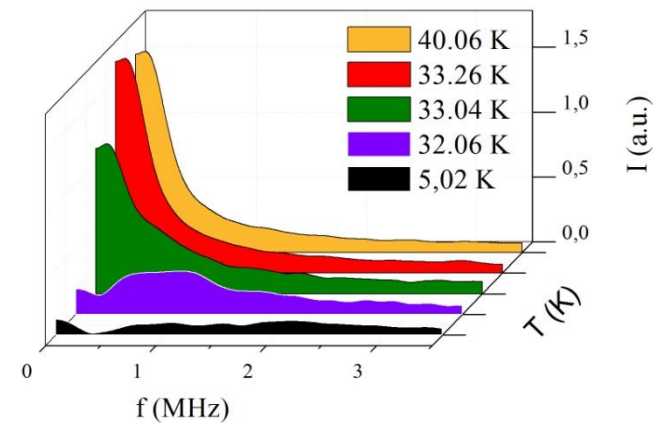
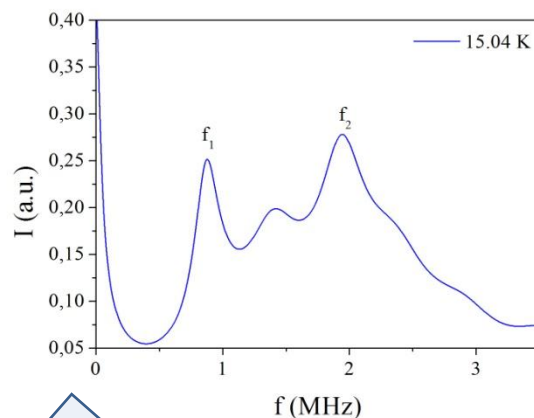
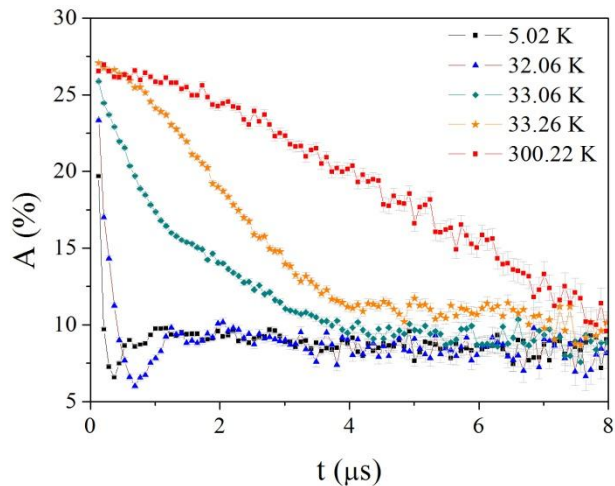
MuSR,

$m \approx 1$ g; polikrystaliczna

ZF 5-300 K

LF 0-200 G

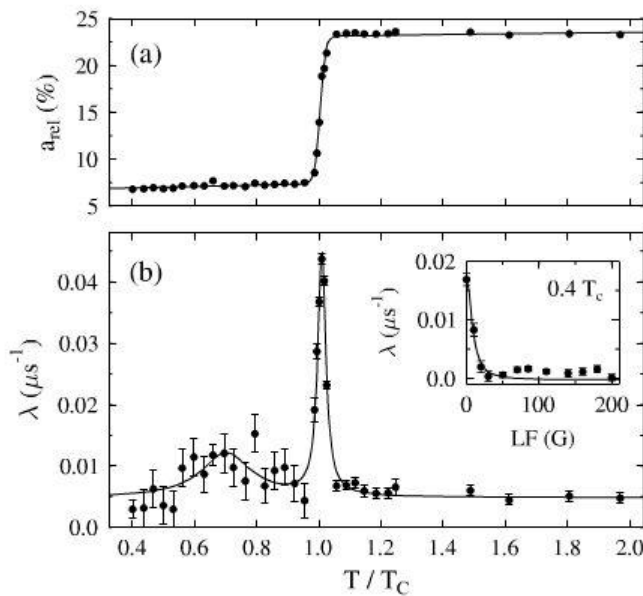
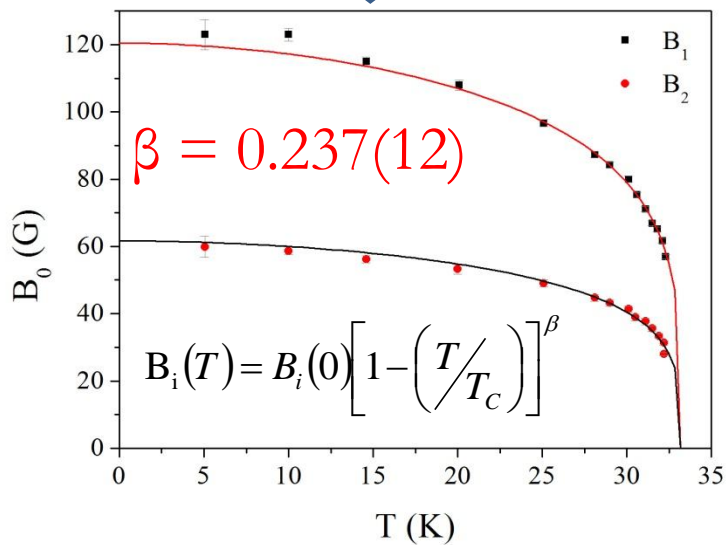




$$A(t) = A_1 \cos(\omega_1 t) e^{-\lambda_1 t} + A_2 \cos(\omega_2 t) e^{-\lambda_2 t}$$

$$\omega_i = \gamma_\mu B_0$$

$$T_C = 33.16(1) \text{ K}$$



$$A(t) = a_{\text{rel}} e^{-\lambda t} \quad T < T_C$$

$$A(t) = a_{\text{rel}} e^{-\lambda t} P_Z^{\text{KT}}(\Delta, B, t) \quad T > T_C$$

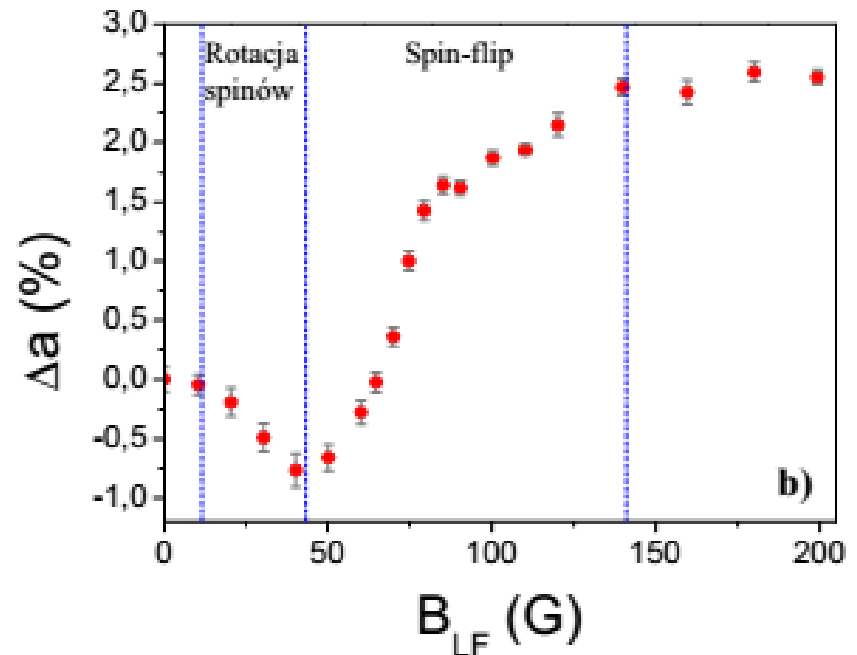
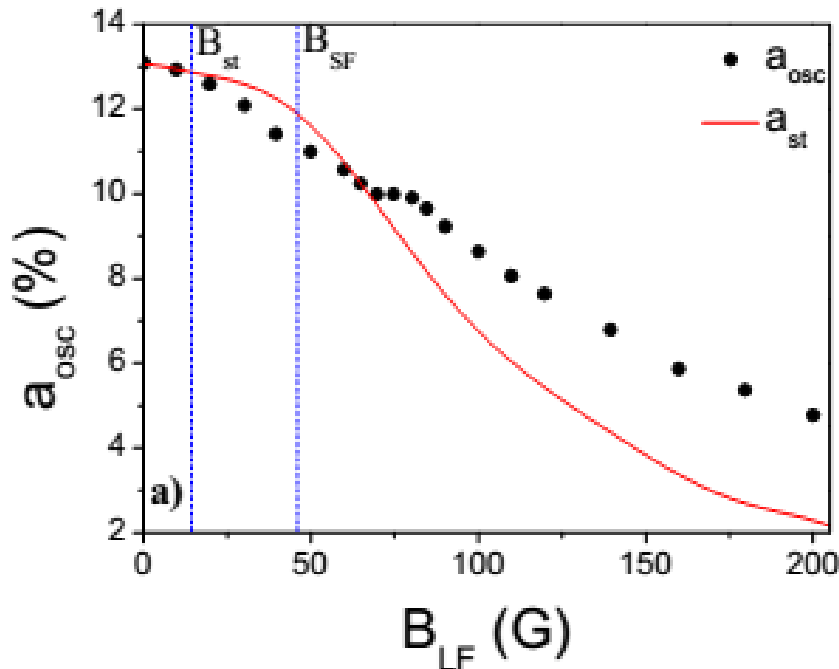
$$\lambda = \frac{2\Delta^2\tau}{1 + (\gamma_\mu B_{\text{LF}}\tau)^2}$$

Obserwacja reorientacji spinów pod wpływem zewnętrznego pola magnetycznego

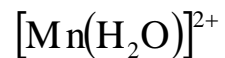
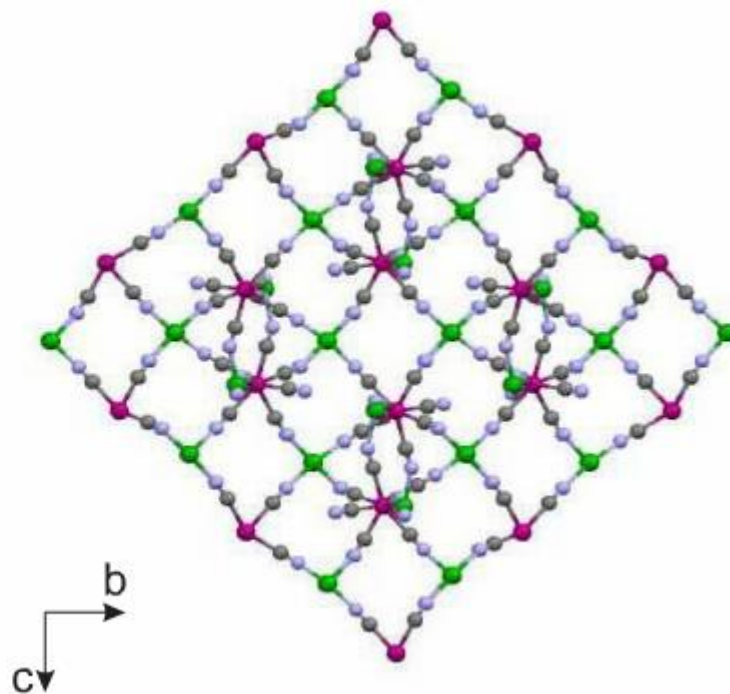
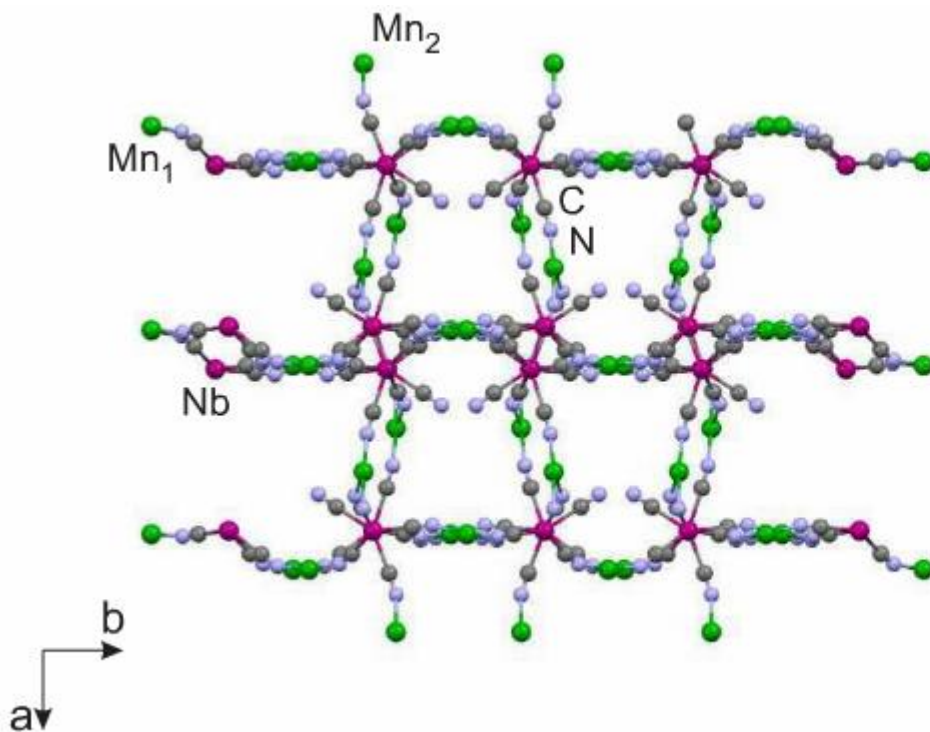
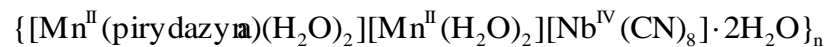
$T = 14 \text{ K}$, $B_{LF} \in (0, 200) \text{ G}$

$$a_{st}(B_{LF}) = A_1 A_{osc} \left(\frac{B_{LF}}{B_1} \right) + A_2 A_{osc} \left(\frac{B_{LF}}{B_2} \right)$$

$$\Delta a = a_{osc} - a_{st}$$



Pierwsza obserwacja przejścia metamagnetycznego metodą μSR



● Mn^{V} ($S=5/2$)

● Nb^{IV} ($S=1/2$)

ISIS-RAL

ARGUS,

$m \approx 0.8$ g; polikrystaliczna

ZF

LF 0-3900 G

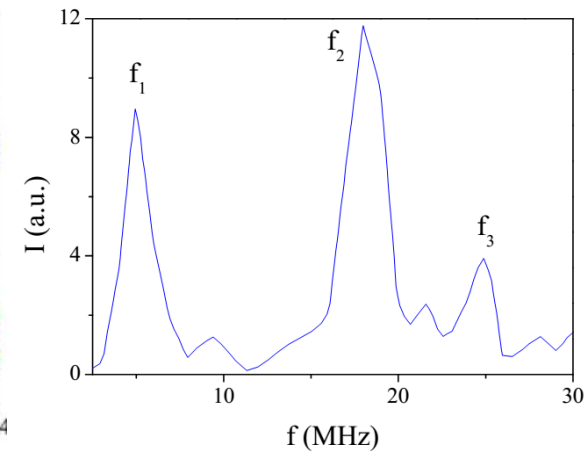
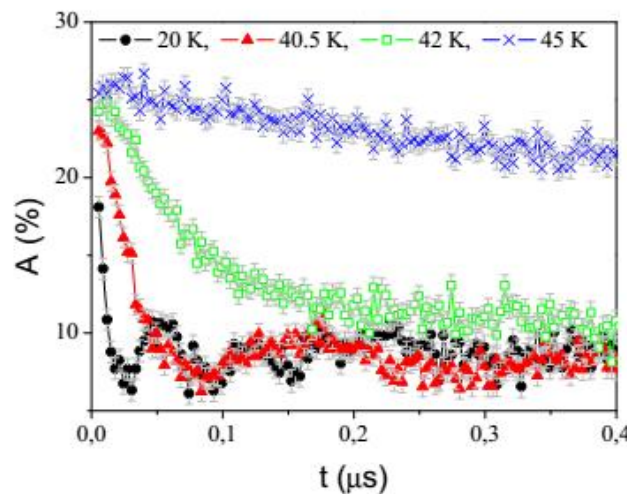
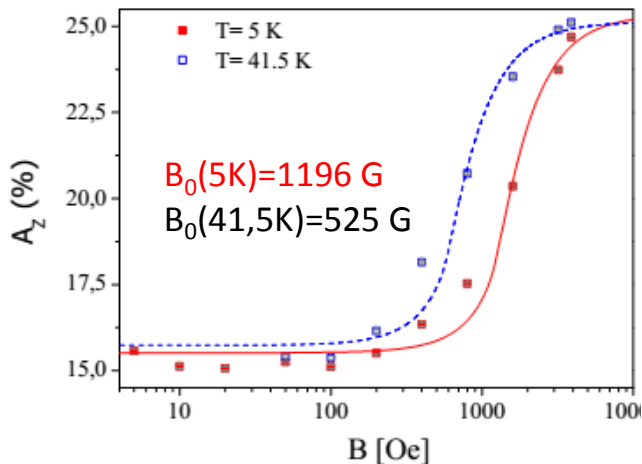
TF 20 G

T 4,5 -100 K

SμS-PSI

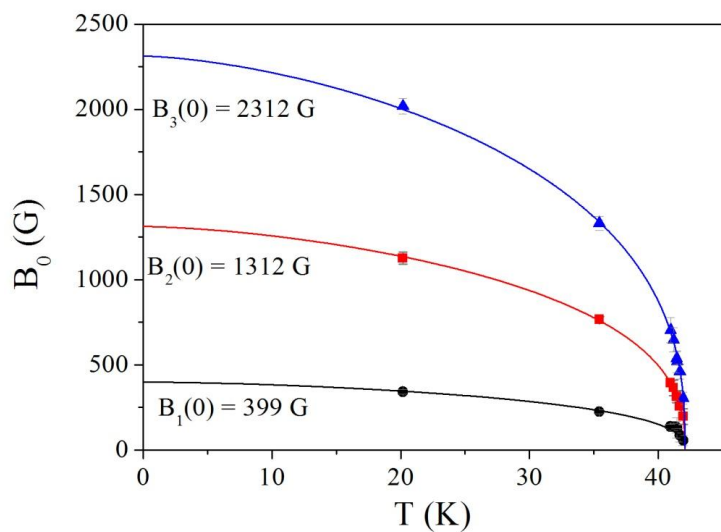
GPS,

ZF 4.5-70 K

ZF $T < T_c$ 

$$A_Z(b) = \frac{3}{4} - \frac{1}{4b^2} + \frac{(b^2 - 1)^2}{8b^3} \log \left| \frac{b+1}{b-1} \right|$$

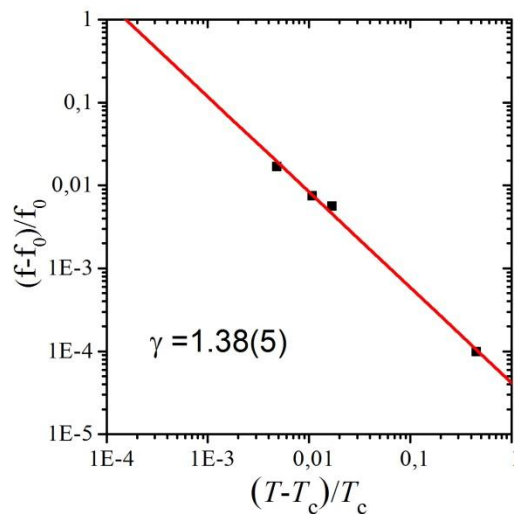
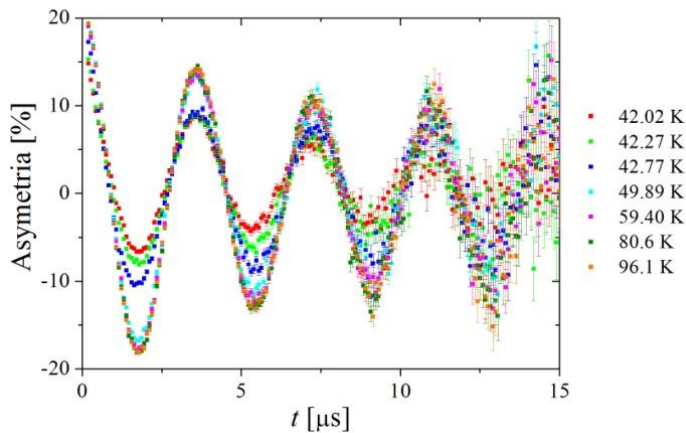
$$A_{osc}(b) = 1 - A_Z(b), \quad b = \frac{B_{ext}}{B_0}$$



$$B_i(t) = B_i(0) \left[1 - \left(\frac{T}{T_c} \right) \right]^\beta$$

$$T_c = 42.08(3) \text{ K}$$

$$\beta = 0.38(1)$$

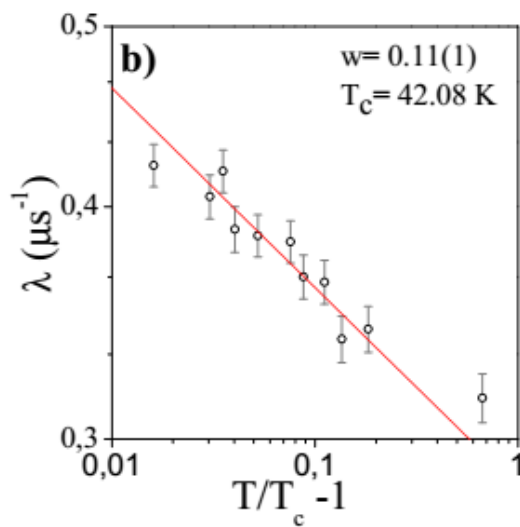
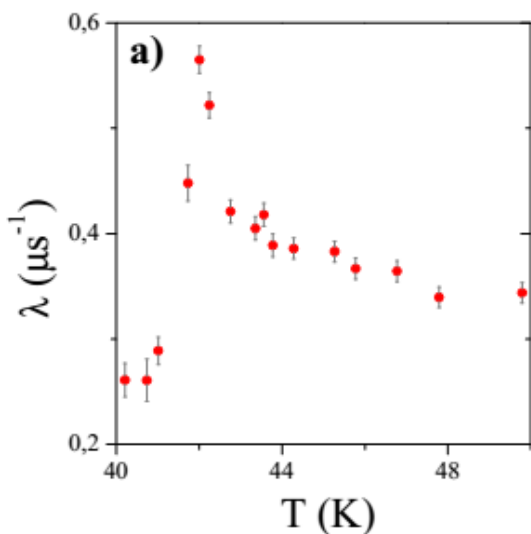
TF $T > T_c$ 

$$\frac{f - f_0}{f_0} \sim \chi(T) \sim \left(\frac{T}{T_c} - 1 \right)^{-\gamma}$$

$$f_0 = \frac{\gamma_\mu B_0}{2\pi}; B_{ind} \sim \chi B_0$$

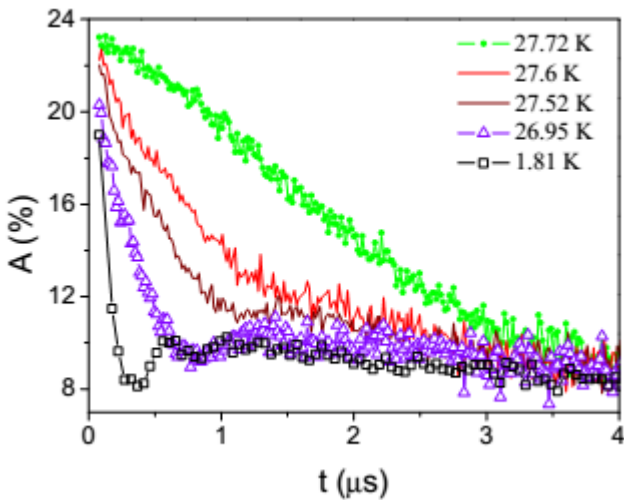
$$B_{loc} = B_0 + B_{ind}$$

$$\gamma = 1.38(5)$$

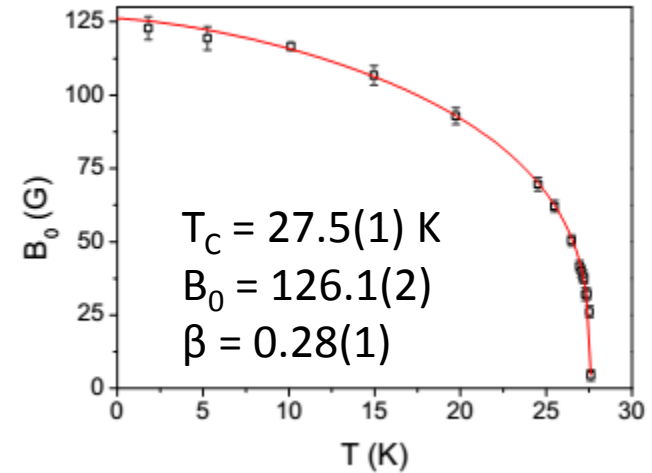
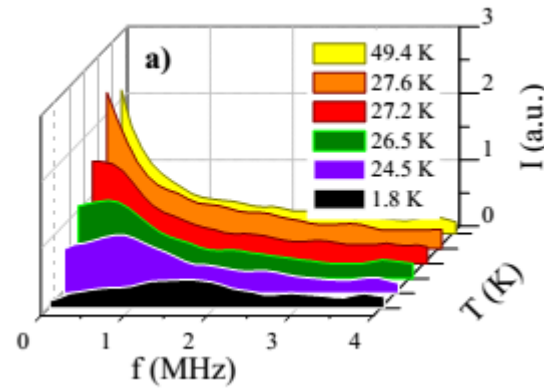
ZF $T > T_c$ 

$$\tau \sim \left(\frac{T}{T_c} - 1 \right)^{-w}$$

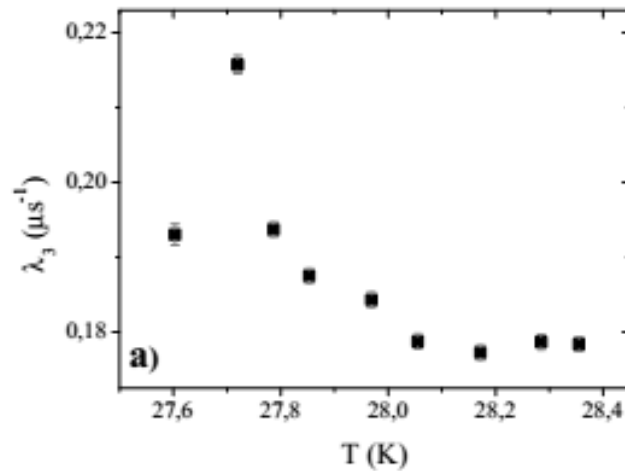
$$w = 1.117(8)$$

ZF $T < T_c$ 

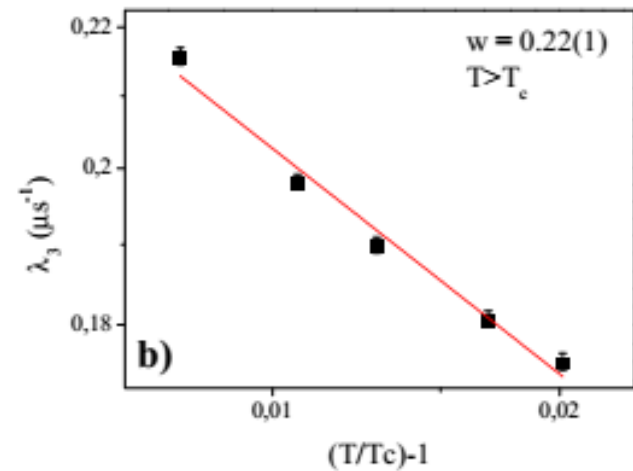
$$A(t) = A_1 \cos(\omega t + \phi) e^{-\lambda t}$$

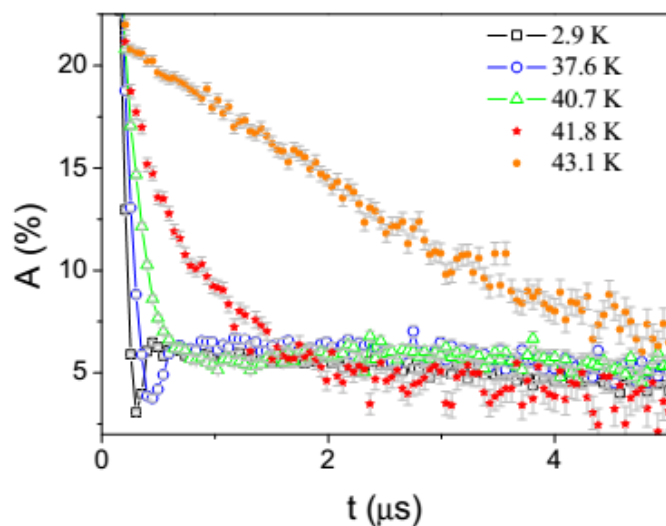


$$B_i(t) = B_i(0) \left[1 - \left(\frac{T}{T_c} \right) \right]^\beta$$

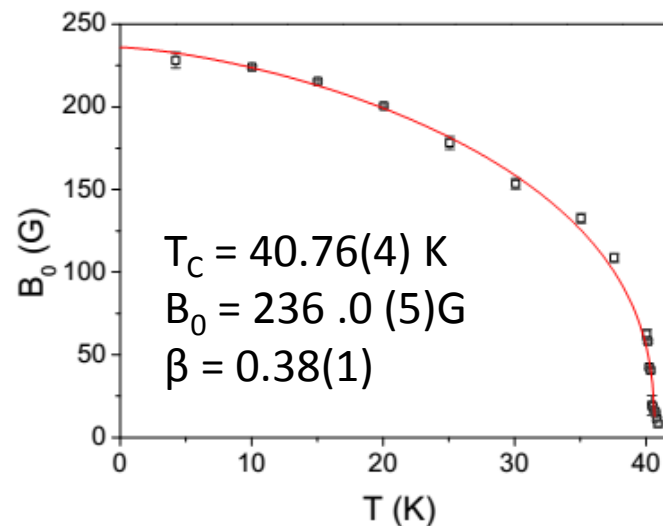
ZF $T > T_c$ 

$$A(t) = A_{rel} e^{-\lambda_3 t}$$



ZF $T < T_c$ 

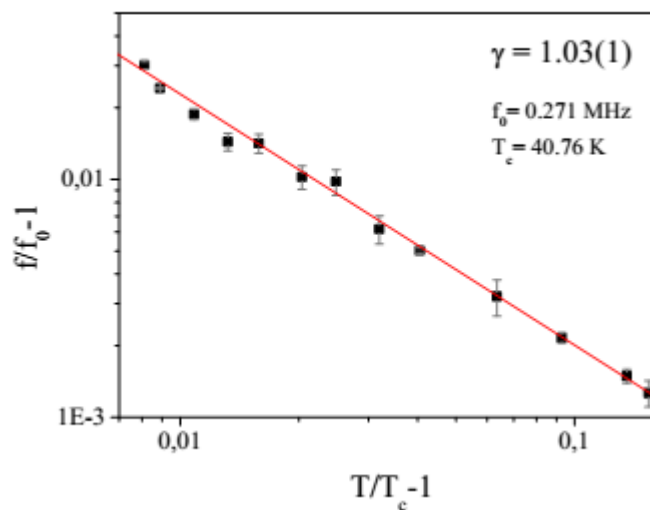
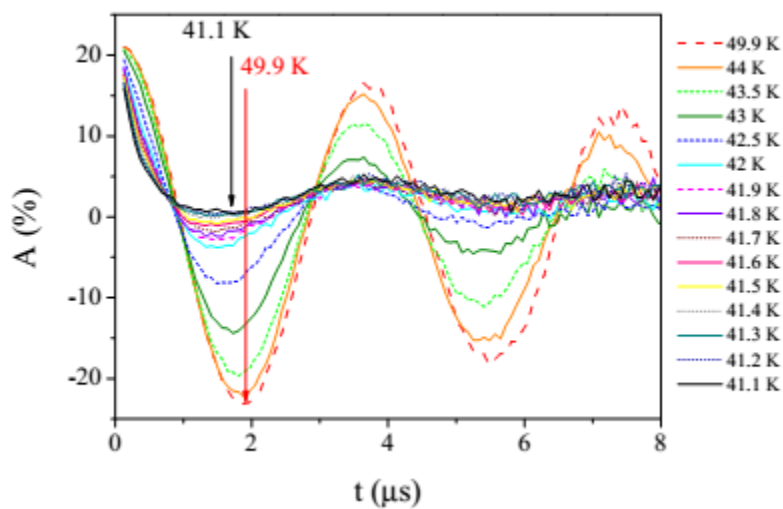
$$A(t) = A_1 \cos(\omega t + \phi) e^{-\lambda t}$$

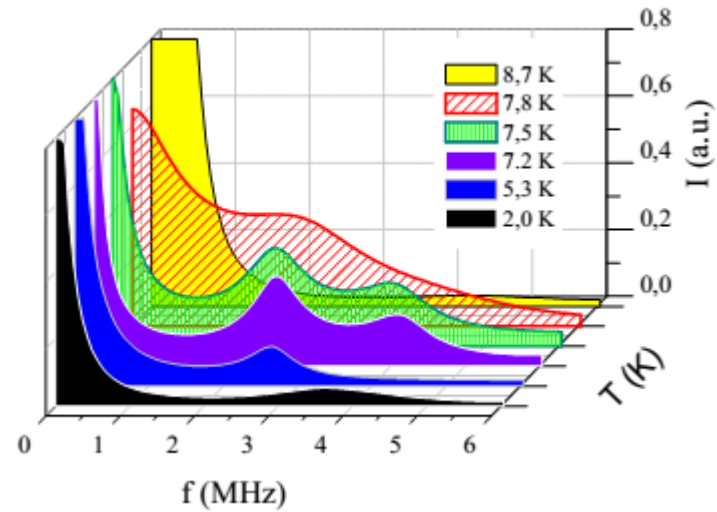
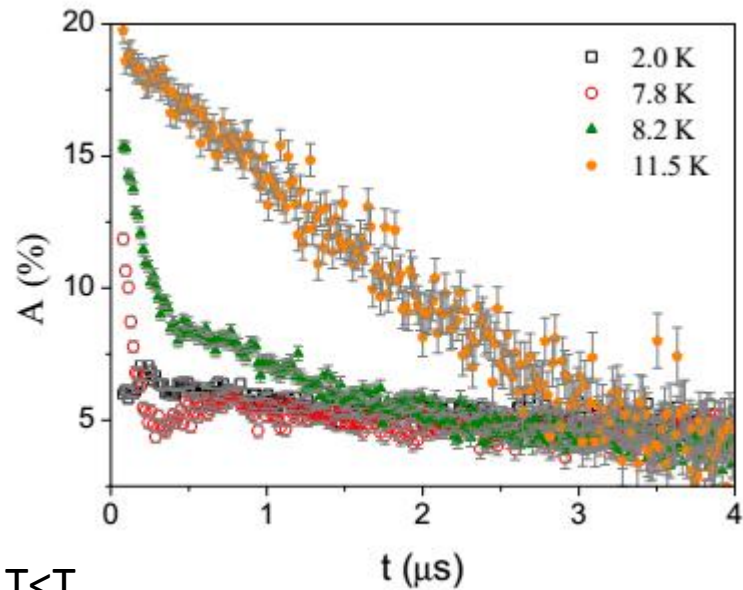
TF $T > T_c$

$$\frac{f - f_0}{f_0} \sim \chi(T) \sim \left(\frac{T}{T_c} - 1\right)^{-\gamma}$$

$$f_0 = \frac{\gamma \mu B_0}{2\pi}; B_{ind} \sim \chi B_0$$

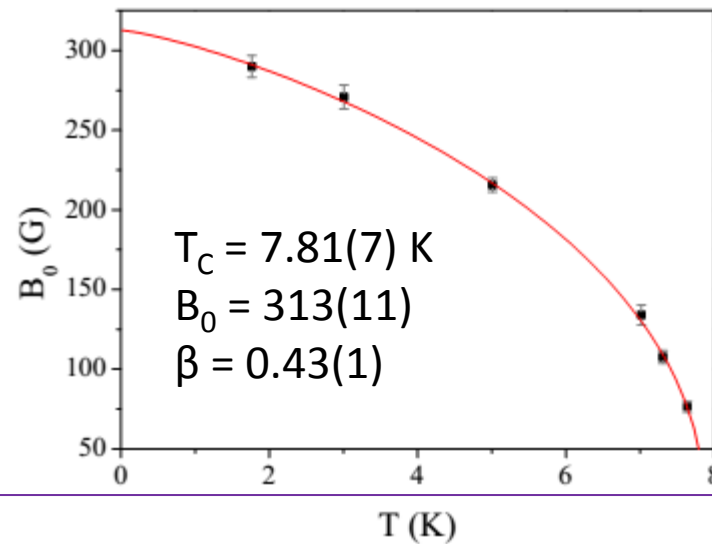
$$B_{loc} = B_0 + B_{ind}$$





$$T < T_C$$

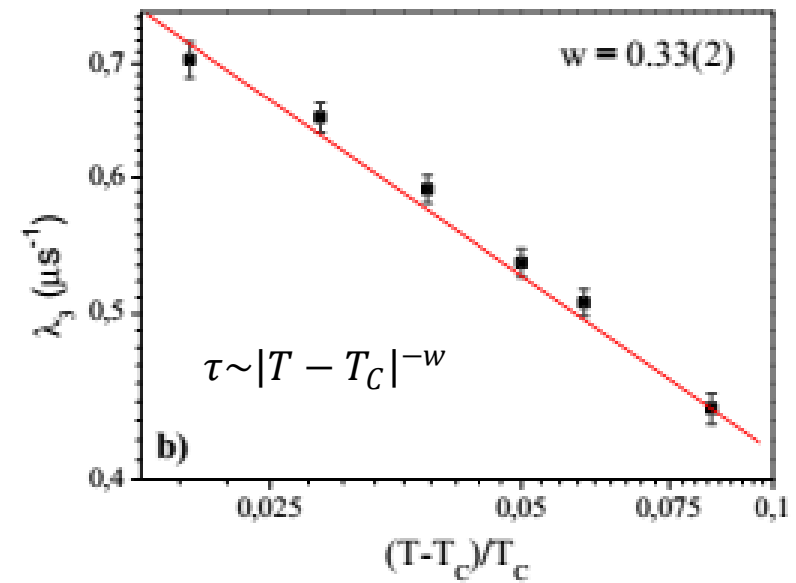
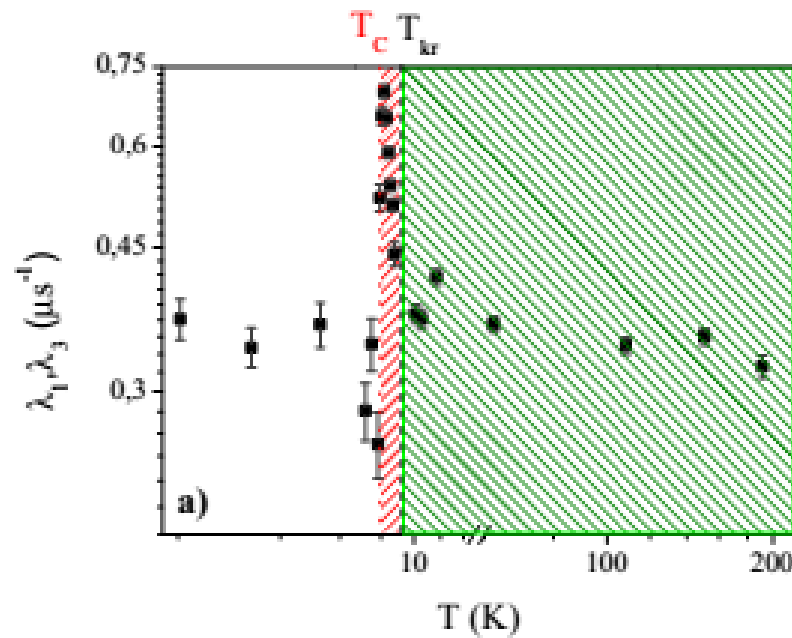
$$A(t) = A_{rel} \left(\frac{1}{3} \exp(-\lambda_1 t) + \frac{2}{3} \exp(-\lambda_2 t) \cos(\gamma_\mu B t + \phi) \right)$$



$T > T_C$

$$A(t) = A_{rel} \exp(-\lambda_3 t)$$

$$\lambda_3 \sim (\Delta B_{loc})^2 \tau$$



Rysunek 8.27: a) Tempa relaksacji spinu mionów poniżej (λ_1) i powyżej (λ_3) temperatury porządkowania momentów magnetycznych (T_C) dla próbki Fe2Nb. Widoczne są dwa obszary wartości λ_3 związane odpowiednio ze słabą ($T_C < T < T_{kr}$) lub silną ($T > T_{kr}$) dynamiką momentów magnetycznych; b) Zależność λ_3 od temperatury zredukowanej w skali podwójnie logarytmicznej. Na podstawie dopasowania reprezentowanego na wykresie linią ciągłą wyznaczono wartość wykładnika $w = 0.33(2)$.

Poniżej T_C istnieje faza o ferrimagnetycznym, dalekozasięgowym uporządkowaniu spinów

Substancja	T_c (K)	B_0 (G)	β	γ	w	Model
Cu4W4	33.16	121 61.7	0.237	-	-	2D XY BKT
Cu7W4	39.86	294	0.373	-	-	3D HSB
Mn2Nb	42.08	399 1312 2312	0.38	1.38	0.11	3D HSB
Cu3Mo3	27.5	293.5	0.28	-	0.22	3D Chiral/NK
Cu3W2	40.76	236	0.38	1.03	-	3D HSB/2D NK/MF ?
Fe2Nb	7.81	313	0.43	-	0.33	3D HSB AF

1. Wykonano 8 eksperymentów mionowych przy źródłach (ISIS, S μ S), łącząc pomiary ZF, LF, TF, dla 6 magnetyków molekularnych.
 2. Wyznaczono temperatury krytyczne
 3. Zbadano temperaturowe zależności wewnętrznych pól magnetycznych.
 4. Wyznaczono wartości parametrów krytycznych β , γ , w
 5. Cu₄W₄ – potwierdzenie przejścia BKT (2D XY) oraz pierwsza obserwacja przejścia metamagnetycznego metodą μ SR
-

T. Wasiutyński, R. Pełka, M. Czapla, P. Konieczny,

M. Bałanda, M. Fitta

NZ34, IFJ PAN



B. Sieklucka, R. Podgajny, D. Pinkowicz

Uniwersytet Jagielloński



F.L. Pratt , A. Hillier

ISIS, Rutherford Appleton Laboratory



A. Amato,

SμS, Paul Scherrer Institute



A. Inaba, Y. Miyazaki

Research Center for Structural Thermodynamics, Osaka University



Dziękuję za uwagę
